Interazioni Elettrodeboli

prof. Francesco Ragusa Università di Milano

Lezione n. 18

1,12,2025

Interazioni di neutrini
Difficoltà dell'interazione di Fermi
Modello IVB (Bosone Vettoriale Intermedio)
NO (Propagatore del fotone e del W)
Deep inelastic scattering di neutrini

anno accademico 2025-2026

Interazioni neutrino-fermione

- L'interazione corrente-corrente di Fermi può essere utilizzata per calcolare le sezioni d'urto di interazioni neutrino fermione mediate da corrente carica (CC)
 - Può essere utilizzata anche per descrivere interazioni di antineutrini
 - Può essere utilizzata per interazioni di neutrini di tutte le famiglie
 - Nel processo di corrente carica il neutrino si trasforma nel leptone carico della famiglia scambiando un bosone W^+

$$u_e
ightarrow e^- \qquad
u_\mu
ightarrow \mu^- \qquad
u_ au
ightarrow au^-$$

• Dall'altro lato possiamo trovare un fermione o un antifermione

$$f \to f'$$
 $\overline{f} \to \overline{f}'$

· Per la conservazione della carica deve essere

ne della carica deve essere
$$\Delta Q=q_{f'}-q_f=q_{\overline{f'}}-q_{\overline{f}}=1 \qquad \qquad p_i \xrightarrow{f'} p_f$$

• Si possono avere le seguenti transizioni

$$l^- \rightarrow \nu_l \qquad d \rightarrow u \qquad s \rightarrow u \qquad \overline{u} \rightarrow \overline{d} \qquad \overline{u} \rightarrow \overline{s} \qquad q_u = \frac{2}{3} e \qquad q_d = q_s = -\frac{1}{3} e$$

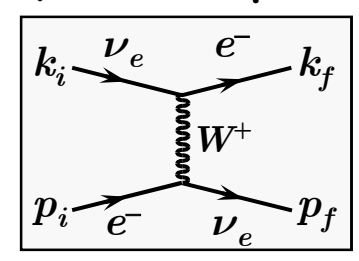
- Per le interazioni di antineutrini tutte le cariche sono invertite k_i $\stackrel{\iota^+}{\smile} k_f$ In questo caso la particella scambiata è il bosone W^-

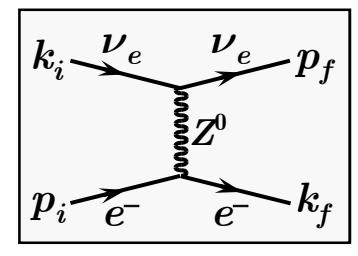
$$\Delta Q = -1 \qquad l^+ \to \overline{\nu}_l \qquad u \to d \qquad u \to s \qquad \overline{d} \to \overline{u} \qquad \overline{s} \to \overline{u}$$

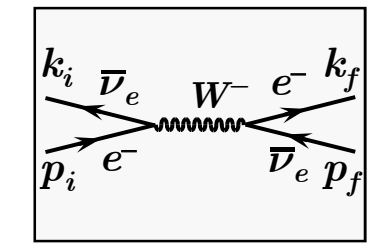
Per finire osserviamo che le correnti conservano il relativo numero fermionico

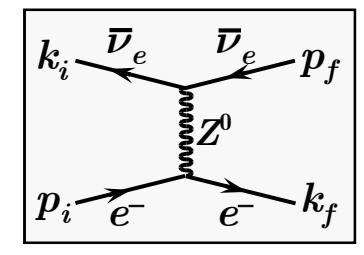
Interazioni neutrino-fermione

- Troveremo la stessa formula per tutte le famiglie
 - In realtà le famiglie differiscono per la massa
 - Spesso approssimeremo le masse a zero
- Le formule per le particelle sono diverse da quelle per le antiparticelle
 - Sia per i neutrini-antineutrini che per i fermioni-antifermioni
- Per fissare le idee studiamo
 - · La sezione d'urto neutrino elettronico elettrone
 - La sezione d'urto antineutrino elettronico elettrone
 - · Questi due processi sono mediati da correnti sia cariche che neutre

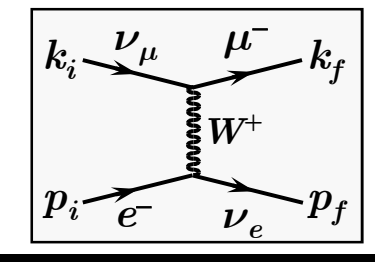


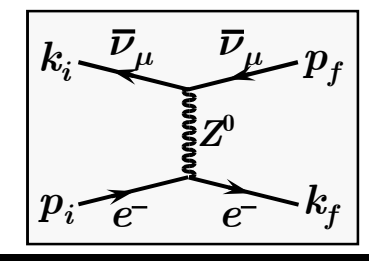






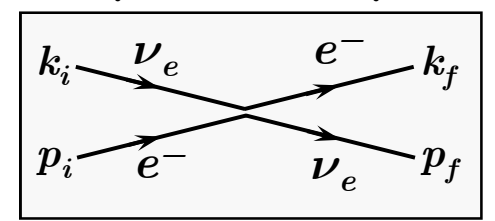
- · Per il momento trascureremo la corrente neutra
- La reazione $\, \nu_{\mu} \, e^- \to \mu^- \, \nu_e \, {\rm può} \, \, {\rm essere} \, \, {\rm mediata \, \, solo \, \, tramite \, \, CC}$
 - Osserviamo che $\,\overline{
 u}_{\mu}\,e^- o \overline{
 u}_{\mu}\,e^-\,$ può essere mediata solo da corrente neutra





Lo scattering $u_{\scriptscriptstyle ho} \; e^- ightarrow u_{\scriptscriptstyle ho} \; e^-$

- Iniziamo con il calcolo della sezione d'urto per lo scattering di un neutrino da parte di un elettrone $\nu_e + e^- \rightarrow \nu_e + e^-$
 - Il diagramma di Feynman al primo ordine associato a guesta reazione e la corrispondente ampiezza di Fermi sono



$$\mathfrak{M} = \frac{G}{\sqrt{2}} \, \overline{u_{k_f}} \gamma^{\mu} \left(1 - \gamma^5\right) u_{k_i} \, \overline{u_{p_f}} \gamma_{\mu} \left(1 - \gamma^5\right) u_{p_i}$$

$$\overline{|\mathfrak{M}|^2} = rac{G^2}{2} M^{\mu
u} N_{\mu
u}$$

- Il quadrato dell'elemento di matrice è
 - I due tensori $M^{\mu
 u}$ e $N^{\mu
 u}$ sono facilmente derivabili dal digramma utilizzando le regole per i diagrammi (vedi diapositiva 335)

$$M^{\mu\nu} = Tr[(k_f + m_e)\gamma^{\mu}(1 - \gamma^5)(k_i + m_{\nu})(1 + \gamma^5)\gamma^{\nu}]$$

$$N^{\mu\nu} = \frac{1}{2} Tr \left[\left(p_f + m_\nu \right) \gamma^\mu \left(1 - \gamma^5 \right) \left(p_i + m_e \right) \left(1 + \gamma^5 \right) \gamma^\nu \right]$$

• Nel primo tensore non è fatta la media sulle polarizzazioni iniziali (manca il fattore $\frac{1}{2}$) perché il neutrino ha solo lo stato left-handed

Lo scattering $\nu_e\;e^-\to\nu_e\;e^-$

- Il calcolo delle tracce è lasciato come esercizio
 - Il risultato per i due tensori è $(m_
 u=0)$

$$M^{\mu\nu} = 8 \left[k_i^{\mu} k_f^{\nu} - g^{\mu\nu} k_i \cdot k_f + k_f^{\mu} k_i^{\nu} - i \varepsilon^{\lambda\mu\sigma\nu} k_{i\lambda} k_{f\sigma} \right]$$

$$N^{\mu\nu} = 4 \left(p_i^{\mu} p_f^{\nu} - g^{\mu\nu} p_i \cdot p_f + p_f^{\mu} p_i^{\nu} - i \varepsilon^{\lambda\mu\sigma\nu} p_{i\lambda} p_{f\sigma} \right)$$

- Il prodotto dei due tensori si calcola facilmente (un po' lungo ...)
 - Occorre la proprietà del tensore di Levi Civita

$$-\varepsilon^{\mu\nu\lambda\sigma}\varepsilon_{\mu\nu\alpha\beta} = 2\left(\delta^{\lambda}_{\alpha}\delta^{\sigma}_{\beta} - \delta^{\lambda}_{\beta}\delta^{\sigma}_{\alpha}\right)$$

• Il risultato è

$$\overline{|\mathfrak{M}|^2} = \frac{G^2}{2} 128 (k_i \cdot p_i) (k_f \cdot p_f)$$

- Calcoliamo i prodotti
 - Dalla conservazione del 4-momento $k_i + p_i = k_f + p_f$

$$s = (k_i + p_i)^2 = (k_f + p_f)^2$$
 $s = 2k_i \cdot p_i + m_e^2 = m_e^2 + 2k_f \cdot p_f$

• Trascuriamo m_e

$$k_i \cdot p_i = k_f \cdot p_f = \frac{s}{2}$$

• Inserendo nell'elemento di matrice si ottiene

$$\overline{|\mathfrak{M}|^2} = \frac{G^2}{2} 128 \frac{s^2}{4} = 16G^2 s^2$$

La sezione d'urto $\nu_e \; e^- ightarrow \nu_e \; e^-$

• La sezione d'urto è $d\sigma = \frac{\overline{|\mathfrak{M}|^2}}{4\sqrt{(\,k_i\,\cdot\,p_i\,)^2\,-(\,m_e m_{_U}\,)^2}}\,d\Phi_2$

• Ricordiamo (diapositiva $\overline{ extstyle 278}$) il fattore di flusso F e lo spazio delle fasi $d\Phi_2$

$$F = 4\sqrt{\left(p_{1} \cdot p_{2}\right)^{2} - \left(m_{1}m_{2}\right)^{2}} = 4\left|\mathbf{q}_{i}\right|W_{i} \qquad d\Phi_{2} = \frac{1}{(4\pi)^{2}}\frac{\left|\mathbf{q}_{f}\right|}{W_{f}}d\Omega$$

- Inoltre $|\mathbf{q}_i| = \left|\mathbf{q}_f\right| = \frac{\sqrt{s}}{2}$ $W_i = W_f = \sqrt{s}$
- Otteniamo pertanto

$$d\Phi_2 = \frac{1}{2} \frac{d\Omega}{(4\pi)^2}$$
 $F = 4\sqrt{(p_1 \cdot p_2)^2 - (m_1 m_2)^2} = 2s$

- Per l'elemento di matrice il risultato del calcolo era $|\overline{\mathfrak{M}}|^2 = \frac{G^2}{2} 128 \frac{s^2}{4} = 16 G^2 s^2$
- Introducendo nella formula per la sezione d'urto

$$d\sigma = 16G^2 s^2 \frac{1}{2s} \frac{1}{2} \frac{d\Omega}{(4\pi)^2}$$

- Pertanto, nel centro di massa, la sezione d'urto è isotropa
- La sezione d'urto totale è

$$\sigma = \int \frac{G^2 s}{4\pi^2} d\Omega = \frac{G^2 s}{\pi}$$

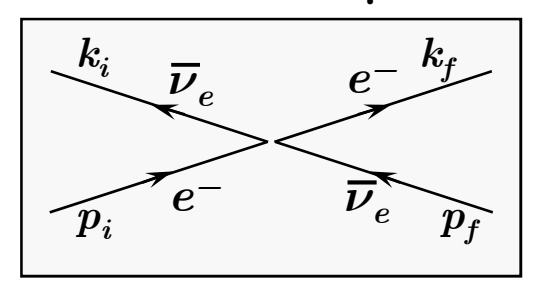
$$\frac{d\sigma}{d\Omega} = \frac{G^2 s}{4\pi^2}$$

Lo scattering $\bar{\nu}_e \; e^- \to \bar{\nu}_e \; e^-$

• Calcoliamo adesso il quadrato dell'ampiezza della reazione

$$\overline{\nu}_e + e^- \rightarrow \overline{\nu}_e + e^-$$

• Il diagramma di Feynman al primo ordine (solo CC) associato a questa reazione e la corrispondente ampiezza di Fermi sono



$$\mathfrak{M} = \frac{G}{\sqrt{2}} \overline{u}_{k_f} \gamma^{\mu} \left(1 - \gamma^5\right) v_{p_f} \overline{v}_{k_i} \gamma_{\mu} \left(1 - \gamma^5\right) u_{p_i}$$

$$\mathfrak{M} = \frac{G}{\sqrt{2}} \overline{u}_{k_f} \gamma^{\mu} \left(1 - \gamma^5\right) u_{k_i} \overline{u}_{p_f} \gamma_{\mu} \left(1 - \gamma^5\right) u_{p_i}$$

- Le correnti sono relative a particelle o tutte nello stato iniziale o tutte nello stato finale
 - Nella reazione neutrino-elettrone le correnti univano particelle fra gli stati iniziali e finali
- Confrontiamo con la corrispondente ampiezza della reazione $u_e \; e^-
 ightarrow
 u_e \; e^-$
 - Gli spinori u_{kf} e u_{pi} compaiono allo stesso modo e quindi contribuiranno allo stesso modo
 - Lo spinore u_{ki} è diventato v_{pf} . Dato che $m_{
 u}=0$ basta sostituire k_i con p_f
 - Lo spinore u_{pf} è diventato v_{ki} . Dato che $m_{
 u}=0$ basta sostituire p_f con k_i

$$\bullet \ \, \text{Sostituendo} \ \, \overline{|\mathfrak{M}|^2} = \frac{G^2}{2} 128 (\,k_i \cdot p_i\,) \left(\,k_f \cdot p_f\,\right) \quad \Longrightarrow \quad \overline{|\mathfrak{M}|^2} = \frac{G^2}{2} 128 \left(\,p_f \cdot p_i\,\right) \left(\,k_f \cdot k_i\,\right)$$

Lo scattering $\bar{ u}_{\scriptscriptstyle ho} \; e^- ightarrow \bar{ u}_{\scriptscriptstyle ho} \; e^-$

- Studiamo adesso la cinematica della reazione
 - Consideriamo la conservazione del 4-momento

$$k_i + p_i = k_f + p_f$$

 Possiamo ricavare una espressione utile per la variabile di Mandelstam t

$$k_i - k_f = p_f - p_i$$
 $t = (k_i - k_f)^2 = (p_f - p_i)^2$



$$t = -2k_i \cdot k_f = -2p_i \cdot p_f$$





$$-\mathbf{k}_i \qquad \mathbf{p}_f = -\mathbf{k}_f$$

$$\mathbf{p}_i = -\mathbf{k}_i \qquad \mathbf{p}_f = -\mathbf{k}_f \qquad |\mathbf{k}_i| = \left|\mathbf{k}_f\right| \equiv |\mathbf{q}| \qquad E = \left|\mathbf{q}\right| \qquad |\mathbf{q}| = \frac{\sqrt{s}}{2}$$

$$\mathbf{x}_i | = |\mathbf{k}_f| \equiv |\mathbf{q}| \qquad E = |\mathbf{q}|$$

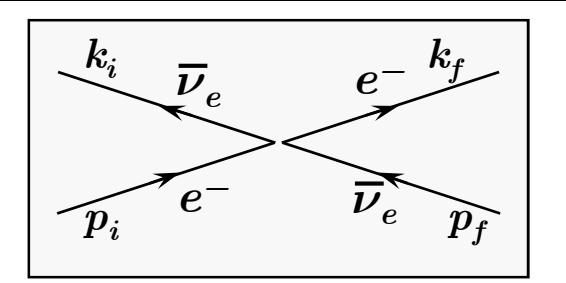
$$ullet$$
 Calcoliamo t (sempre trascurando le masse)

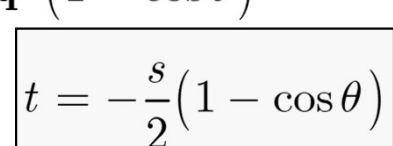
$$t = -2k_i \cdot k_f = -2E_1E_3 + 2(\mathbf{k}_i \cdot \mathbf{k}_f) = -2\mathbf{q}^2 + 2\mathbf{q}^2 \cos \theta = -2\mathbf{q}^2 (1 - \cos \theta)$$

• Inseriamo i risultati nell'elemento di matrice

rati nell'elemento di matrice
$$rac{|\mathfrak{M}|^2}{|\mathfrak{M}|^2} = rac{G^2}{2} 128 ig(p_f \cdot p_i ig) ig(k_f \cdot k_i ig) = rac{G^2}{2} 128 rac{t^2}{4}$$

$$\overline{\left|\mathfrak{M}\right|^2} = 4G^2 s^2 \left(1 - \cos\theta\right)^2$$





Lo scattering $\bar{ u}_{\scriptscriptstyle ho} \; e^- ightarrow \bar{ u}_{\scriptscriptstyle ho} \; e^-$

- Lo spazio delle fasi e il flusso sono identici al caso precedente
 - Inserendo nella formula per la sezione d'urto otteniamo

$$\frac{d\sigma}{d\Omega} = \frac{G^2 s}{(4\pi)^2} (1 - \cos\theta)^2$$

• Per la sezione d'urto totale integriamo su tutto l'angolo solido $\sigma=\int_1^{-1}\frac{G^2s}{\left(4\pi\right)^2}\big(1-\cos\theta\big)^2\,2\pi d\cos\theta \quad \sigma=\frac{G^2s}{3\pi}$ • Riepiloghiamo i risultati ottenuti $\nu_e+e^-\to\nu_e+e^-\qquad \frac{d\sigma}{d\Omega}=\frac{G^2s}{4\pi^2}\qquad \qquad \sigma=\frac{G^2s}{\pi}$

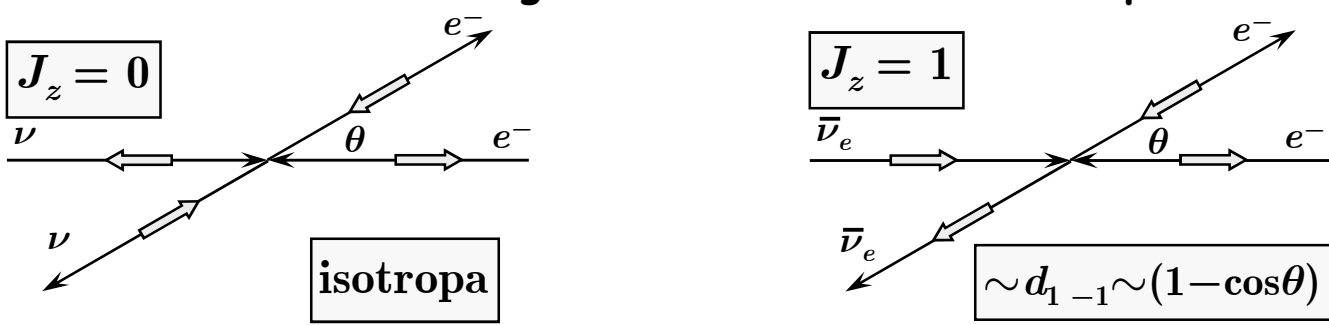
$$u_e + e^- o
u_e + e^-$$
 $\frac{d\sigma}{d\Omega} = \frac{G^2 s}{4\pi^2}$
 $\sigma = \frac{G^2 s}{\pi}$

$$\overline{\nu}_e + e^- o \overline{\nu}_e + e^-$$

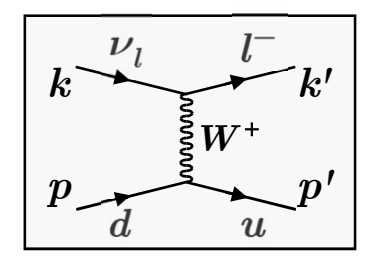
$$\frac{d\sigma}{d\Omega} = \frac{G^2 s}{(4\pi)^2} (1 - \cos \theta)^2$$

$$\sigma = \frac{G^2 s}{\pi}$$

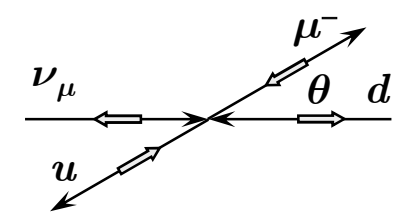
• Si può comprendere la differenza fra i due risultati facendo riferimento alla conservazione del momento angolare e alla violazione della parità



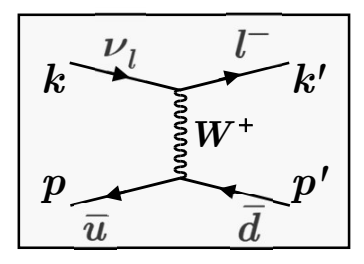
Interazione neutrino quark (CC)



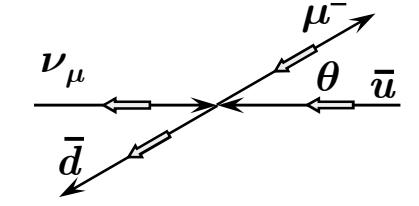
$$\frac{d\sigma}{d\Omega} = \frac{G^2s}{4\pi^2}$$



$$egin{aligned} J_z &= 0 \ & ext{Isotropa} \end{aligned}$$



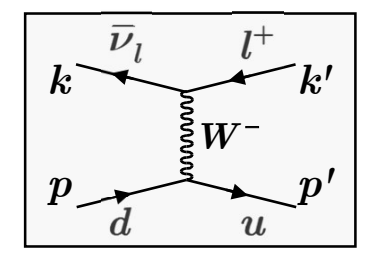
$$\frac{d\sigma}{d\Omega} = \frac{G^2 s}{(4\pi)^2} (1 + \cos\theta)^2$$



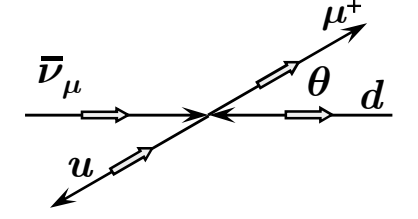
$$J_z = -1 \rightarrow J_z = -1$$

$$\mathfrak{M} \sim d_{-1,-1} \sim 1 + \cos\theta$$

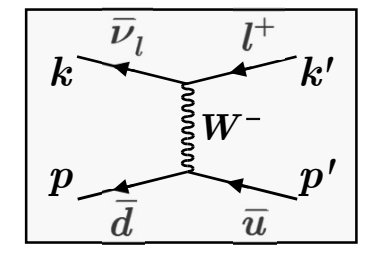
$$\sigma = 0 \text{ per } \theta = \pi$$



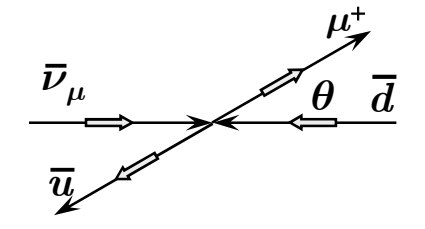
$$\frac{d\sigma}{d\Omega} = \frac{G^2 s}{(4\pi)^2} (1 + \cos\theta)^2$$



$$egin{aligned} J_z &= 1
ightarrow J_z = 1 \ \mathfrak{M} &\sim d_{1,\,1} \sim 1 + \cos heta \ \sigma &= 0 ext{ per } heta = \pi \end{aligned}$$



$$\frac{d\sigma}{d\Omega} = \frac{G^2 s}{4\pi^2}$$

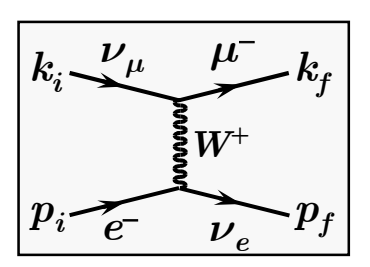


$$egin{aligned} J_z &= 0 \ ext{Isotropa} \end{aligned}$$

La reazione $\nu_{\mu}~e^{-} \rightarrow \mu^{-}\,\nu_{e}$

- Includiamo l'effetto della massa del leptone carico
 - È importante per la reazione

$$\boxed{\nu_{\mu} + e^- \rightarrow \mu^- + \nu_e}$$



- · La struttura dell'elemento di matrice è identica
 - · L'unica differenza è la massa del muone
- Nei casi precedenti, il calcolo del quadrato dell'elemento di matrice era stato fatto senza approssimazioni fino al risultato

$$\overline{|\mathfrak{M}|^2} = 64G^2 (k_i \cdot p_i) (k_f \cdot p_f)$$

- Calcoliamo adesso i due prodotti scalari
 - \bullet Per il primo, relativo ai momenti nello stato iniziale, non ci sono modifiche (si può trascurare $m_e\,)$

$$k_i \cdot p_i = \frac{s}{2}$$

• Per il secondo prodotto abbiamo

$$s = (k_f + p_f)^2 = m_\mu^2 + 2k_f \cdot p_f$$

· Inserendo nell'elemento di matrice

$$k_f \cdot p_f = \frac{s - m_\mu^2}{2} = \frac{s}{2} \left(1 - \frac{m_\mu^2}{s} \right)$$

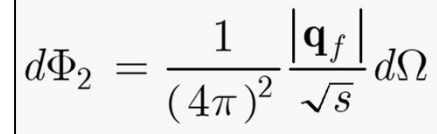
$$\overline{|\mathfrak{M}|^2} = 16G^2 s^2 \left(1 - \frac{m_\mu^2}{s} \right)$$

La reazione $\nu_{\mu}~e^{-} \rightarrow \mu^{-}\,\nu_{e}$

- Per spazio delle fasi e flusso si può usare il calcolo precedente ma con cura
 - Quando trascuriamo le masse le reazioni sono processi di scattering elastico
 - Le masse delle particelle nello stato iniziale sono uguali alle masse nello stato finale
 - La quantità di moto (3d) nel centro di massa dello stato iniziale è uguale al quantità di moto nel centro di massa dello stato finale
- Nel caso della reazione $u_{\mu} + e^{-}
 ightarrow \mu^{-} +
 u_{e}$
 - · Le masse delle particelle nello stato iniziale e finale sono diverse
 - Di conseguenza anche le quantità di moto \mathbf{q}_i e \mathbf{q}_f sono differenti
 - Le quantità di moto nel flusso e nello spazio delle fasi sono differenti
- Ricordiamo il risultato per il fattore di flusso

$$\sqrt{(p_1 \cdot p_2)^2 - (m_1 m_2)^2} = \frac{s}{2}$$

- Questo risultato è ancora valido perché la cinematica dello stato iniziale non è cambiata
- Ricordiamo il risultato per lo spazio delle fasi
 - ullet Occorre esprimere \mathbf{q}_f in termini di invarianti
 - Occorre tenere conto dell'effetto soglia





La quantità di moto nel centro di massa

ullet Cominciamo dalla variabile invariante s nel c.m. delle particelle $1\!-\!2$

$$s = \left(p_1 + p_2\right)^2 = m_1^2 + m_2^2 + 2E_1E_2 + 2|\mathbf{q}|^2 - 2|\mathbf{p}_1||\mathbf{p}_2|\cos\pi$$

$$|\mathbf{p}_1 = -\mathbf{p}_2 = \mathbf{q}|$$

$$\left(s - m_1^2 - m_2^2 - 2|\mathbf{q}|^2\right)^2 = \left(2\sqrt{\mathbf{q}^2 + m_1^2}\sqrt{\mathbf{q}^2 + m_2^2}\right)^2 = 4\left(|\mathbf{q}|^2 + m_1^2\right)\left(|\mathbf{q}|^2 + m_2^2\right) \quad E_{1,2} = \sqrt{\mathbf{q}^2 + m_{1,2}^2}$$

$$E_{1,2} = \sqrt{\mathbf{q}^2 + m_{1,2}^2}$$

• Sviluppando

$$(s - m_1^2 - m_2^2)^2 + 4|\mathbf{q}|^4 - 4|\mathbf{q}|^2 (s - m_1^2 - m_2^2) = 4|\mathbf{q}|^4 + 4(m_1^2 + m_2^2)|\mathbf{q}|^2 + 4m_1^2 m_2^2$$

Semplificando

$$(s - m_1^2 - m_2^2)^2 - 4m_1^2 m_2^2 = 4s |\mathbf{q}|^2$$

• per finire otteniamo

$$|\mathbf{q}|^2 = \frac{\left(s - m_1^2 - m_2^2\right)^2 - 4m_1^2 m_2^2}{4s}$$

• nello stato iniziale $1=e,\, 2=
u_{\mu}$

$$\left|\mathbf{q}_i\right| = \frac{s - m_e^2}{2\sqrt{s}}$$

• nello stato finale $1=\mu,\, 2=\nu_e$

$$\left|\mathbf{q}_f\right| = \frac{s - m_\mu^2}{2\sqrt{s}}$$

Soglia di produzione

 Nel caso della reazione di produzione occorre anche calcolare l'energia minima necessaria perché la reazione sia possibile

$$\nu_{\mu} + e^{-} \rightarrow \mu^{-} + \nu_{e}$$

- Il minimo valore di s necessario è quello che porta alla produzione delle due particelle a riposo nello stato finale: $|{f q}_f|=0$
 - · Dalla diapositiva precedente

$$(s - m_1^2 - m_2^2)^2 - 4m_1^2 m_2^2 = 4s \left| \mathbf{q}_f \right|^2 = 0$$

· La reazione è possibile per

$$\left(s-m_1^2-m_2^2\right)^2-4m_1^2m_2^2\geq 0 \qquad \Longrightarrow s-m_1^2-m_2^2\geq 2m_1m_2 \qquad s\geq \left(m_1+m_2\right)^2$$

• Ponendo $m_1=m_\mu,\,m_2=0$ e introducendo il valore di s nel laboratorio

$$s = \left(k_i + p_i\right)^2 = m_e^2 + 2m_e E_{\nu} \qquad 2m_e E_{\nu} + m_e^2 \ge m_{\mu}^2$$

$$E_{\nu} \ge \frac{m_{\mu}^2 - m_e^2}{2m_e}$$

$$\begin{split} m_{\mu} &= 105 ~~\mathrm{MeV} \\ m_{e} &= .511 ~~\mathrm{MeV} \end{split}$$

$$E_{\nu} \geq 10.79~{\rm GeV}$$

La reazione $u_{\mu} \; e^- ightarrow \mu^- \, u_e$

Per finire specializziamo la formula dello spazio delle fasi al nostro caso

$$d\Phi_2 = \frac{1}{(4\pi)^2} \frac{|\mathbf{q}_f|}{\sqrt{s}} d\Omega \qquad |\mathbf{q}_f| = \frac{s - m_\mu^2}{2\sqrt{s}}$$

Otteniamo

$$d\Phi_2 = \frac{1}{(4\pi)^2} \frac{s - m_\mu^2}{2s} d\Omega$$

$$d\Phi_2 = \frac{1}{(4\pi)^2} \frac{s - m_\mu^2}{2s} d\Omega \qquad d\Phi_2 = \frac{1}{(4\pi)^2} \frac{1}{2} \left(1 - \frac{m_\mu^2}{s} \right) d\Omega$$

• Inseriamo questi risultati nella formula per la sezione d'urto

$$d\sigma = \frac{|\mathfrak{M}|^2}{4\sqrt{(k \cdot p)^2 - (m_e m_{\nu_{\mu}})^2}} d\Phi_2$$

$$\overline{|\mathfrak{M}|^2} = 16G^2 s^2 \left(1 - \frac{m_{\mu}^2}{s}\right) \qquad \sqrt{(p_1 \cdot p_2)^2 - (m_1 m_2)^2} = \frac{s}{2}$$

Otteniamo

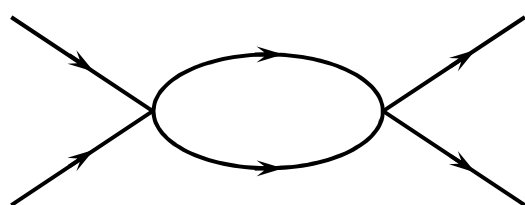
$$\boxed{ \frac{d\sigma}{d\Omega} = \frac{G^2 s}{4\pi^2} \bigg(1 - \frac{m_\mu^2}{s} \bigg)^2 } \quad E_\nu \ge \frac{m_\mu^2 - m_e^2}{2m_e} = 10.79 \;\; \mathrm{GeV}$$

Difficoltà dell'Interazione di Fermi

- Le sezioni d'urto fin qui calcolate divergono al crescere dell'energia
- Osserviamo inoltre che i calcoli fin qui fatti sono approssimati al primo ordine della teoria perturbativa
 - È possibile fare calcoli di ordine superiore ?
 - Ad esempio, è possibile calcolare diagrammi come il seguente ?



- Il tipo di divergenza è grave e non si riesce a reinterpretare come invece avviene per l'elettrodinamica con la rinormalizzazione
 - La teoria di Fermi non è rinormalizzabile
- Si è tentato di rendere la teoria più simile all'elettrodinamica introducendo il bosone vettoriale intermedio (IVB) $n = n^{\alpha}$
 - Le correnti dell'interazione di Fermi sono vettoriali
 - La particella scambiata deve essere un 4-vettore, spin 1
 - L'interazione debole è a corto range (al limite di contatto)
 - La particella scambiata deve avere una massa non nulla
- Dobbiamo trovare il propagatore di una particella vettoriale di massa non nulla
 - Approfondiamo lo studio dei propagatori



Particelle con massa $\underline{\text{nulla}}$ e con spin 1^{\dagger}

- ullet Una particella di spin 1 è descritta da un campo A^{μ}
 - La lagrangiana di un campo vettoriale senza massa accoppiato a una sorgente j^μ è

$$\mathfrak{L} = -\frac{1}{4}F^{\mu\nu}F_{\mu\nu} - j_{\mu}A^{\mu} \qquad F^{\mu\nu} = \partial^{\mu}A^{\nu} - \partial^{\nu}A^{\mu}$$

- ullet $oldsymbol{\mathfrak{L}}$ è invariante per trasformazioni di gauge se la corrente è conservata
 - Il tensore $F^{\mu
 u}$ è invariante per trasformazioni di gauge $A^{\,\prime \mu} = A^\mu + \partial^\mu \Lambda$
 - Esaminiamo come si trasforma il termine di interazione

$$j_{\mu}A^{\prime\mu} = j_{\mu}A^{\mu} + j_{\mu}\partial^{\mu}\Lambda = j_{\mu}A^{\mu} + \partial^{\mu}\Lambda j_{\mu} - \Lambda\partial^{\mu}j_{\mu}$$

- · La 4-divergenza non contribuisce all'azione e può essere ignorata
- $j_\mu A'^\mu = j_\mu A^\mu \Lambda \partial^\mu j_\mu$ se $\partial^\mu j_\mu = 0$ $j_\mu A'^\mu = j_\mu A^\mu$ \mathcal{L}' è invariante se
- ullet Le equazioni di Eulero-Lagrange portano all'equazione per A^{μ}

$$\Box A^{\mu} - \partial^{\mu} \left(\partial_{\nu} A^{\nu} \right) = j^{\mu}$$

- Fissiamo il gauge con la condizione di Lorentz $\partial^{\mu}A_{\mu}\!\!=0$ e assumiamo $j^{\mu}=0$
 - Si trova la soluzione di onda piana che propaga nel vuoto

$$A^{\mu}(x) = \varepsilon^{\mu}(k)e^{-ik\cdot x} \qquad \qquad k^{2} = 0 \qquad \qquad k_{\mu}\varepsilon^{\mu}(k) = 0$$

- Il 4-vettore $arepsilon^{\mu}(k)$ descrive la polarizzazione della particella
- † Per la trattazione degli stati di polarizzazione di particelle vettoriali vedi Greiner W., Reinhardt J. - Field Quantization 2nd ed. – Springer 1996 § 6.4.1 e § 6.4.2

538

Particelle con massa <u>non nulla</u> e con spin 1

• Il passaggio a particelle con massa non nulla si fa introducendo un termine quadratico nella lagrangiana

$$\mathfrak{L} = -\frac{1}{4} F^{\mu\nu} F_{\mu\nu} + \frac{1}{2} m^2 A^{\mu} A_{\mu} - j_{\mu} A^{\mu}$$

- Osserviamo che ${\mathfrak L}$ non è più gauge invariante a causa del nuovo termine
- Le equazioni di Eulero-Lagrange portano all'equazione di Proca

$$\Box A^{\mu} - \partial^{\mu} \left(\partial_{\nu} A^{\nu} \right) + m^2 A^{\mu} = j^{\mu}$$

Calcoliamo la 4-divergenza dell'equazione

$$\partial_{\mu} \Box A^{\mu} - \partial_{\mu} \partial^{\mu} (\partial_{\nu} A^{\nu}) + m^{2} \partial_{\mu} A^{\mu} = \partial_{\mu} j^{\mu}$$

- I primi due termini si elidono e pertanto $\,m^2\partial_{\,\mu}A^{\mu}=\partial_{\,\mu}j^{\mu}$
- Se la corrente è nulla oppure è conservata deve essere $~~\partial_{\mu}A^{\mu}=0$
- Pertanto nel caso di massa non nulla la condizione di Lorentz su A^μ è conseguenza dell'autoconsistenza della teoria
 - Nel caso $J^{\mu}=0$ (propagazione) l'equazione di Proca si semplifica in

$$\Box A^{\mu} + m^2 A^{\mu} = 0$$

La soluzione di onde piane

$$A^{\mu}(x) = \varepsilon^{\mu}(k)e^{-ik\cdot x} \qquad \qquad k^2 = m^2 \qquad \qquad k_{\mu}\varepsilon^{\mu}(k) = 0$$

• Il 4-vettore $arepsilon^{\mu}(k)$ descrive la polarizzazione della particella

Particelle con massa non nulla e con spin 1

- ullet Una particella di spin 1 dotata di massa ha un sistema di riposo K'
 - Per rappresentare la polarizzazione della particella si può utilizzare il formalismo generale introdotto nella diapositiva 77 e seguenti
 - Nel sistema di riposo K' la particella ha polarizzazione ξ
 - Si definisce il 4-vettore $\varepsilon'=(0,\xi)$ $\varepsilon'\cdot\varepsilon'=-\xi\cdot\xi=-1$

$$\varepsilon' = (0, \boldsymbol{\xi})$$

$$\varepsilon' \cdot \varepsilon' = -\boldsymbol{\xi} \cdot \boldsymbol{\xi} = -1$$

• s' è ortogonale al 4-vettore energia impulso $k'=(m,\mathbf{0})$ $k'\cdot \varepsilon'=0$

$$k' = (m, \mathbf{0})$$
 $k' \cdot \varepsilon'$

• Nel sistema K in cui la particella ha 4-momento $k=(k^0,\,{f k})$

$$\varepsilon^0 = \frac{\mathbf{k} \cdot \boldsymbol{\xi}}{m} \qquad \quad \vec{\varepsilon}$$

$$\varepsilon^0 = \frac{\mathbf{k} \cdot \boldsymbol{\xi}}{m}$$
 $\vec{\varepsilon} = \boldsymbol{\xi} + \frac{(\mathbf{k} \cdot \boldsymbol{\xi})}{m(k_0 + m)}\mathbf{k}$

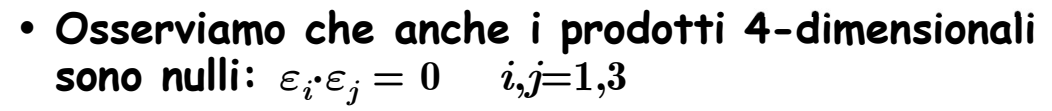
- ullet Consideriamo tre vettori polarizzazione ξ nel sistema K'
 - Due polarizzazioni $m{\xi}_1$ e $m{\xi}_2$ perpendicolari a ${f k}$ $m{\xi}_1\cdot{f k}=m{\xi}_2\cdot{f k}=0$

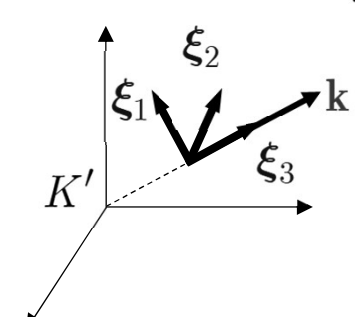
$$\boldsymbol{\xi}_1 \cdot \mathbf{k} = \boldsymbol{\xi}_2 \cdot \mathbf{k} = 0$$

$$\boldsymbol{\xi}_3 = \frac{\mathbf{k}}{|\mathbf{k}|}$$

- ullet Una polarizzazione longitudinale ξ_3
 - Ovviamente $\xi_i \cdot \xi_j = 0$ i,j=1,3
- ullet I 4-vettori corrispondenti nel sistema K sono

$$\varepsilon_1(k) = (0, \boldsymbol{\xi}_1) \quad \varepsilon_2(k) = (0, \boldsymbol{\xi}_2) \quad \varepsilon_3(k) = \frac{1}{m} \left(|\mathbf{k}|, \frac{\mathbf{k}}{|\mathbf{k}|} k_0 \right)$$







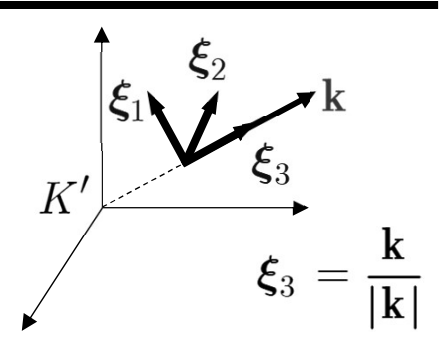
Particelle con massa non nulla e con spin 1

$$\varepsilon_1(k) = (0, \boldsymbol{\xi}_1) \quad \varepsilon_2(k) = (0, \boldsymbol{\xi}_2) \quad \varepsilon_3(k) = \frac{1}{m} \left(|\mathbf{k}|, \frac{\mathbf{k}}{|\mathbf{k}|} k_0 \right)$$

- Si può introdurre un quarto vettore ε_0 , di tipo time-like, per avere un sistema di vettori base completo
 - È possibile perché $k^2=m^2\neq 0$

È possibile perché
$$k^2=m^2\neq 0$$

• Non si può fare per il fotone
$$\varepsilon_0\left(k\right)=\frac{k}{m}=\frac{1}{m}(k_0,\mathbf{k})$$



- Si verifica facilmente che $arepsilon_{\lambda'}arepsilon_{\lambda'}=g_{\lambda\lambda'}$
- In seguito avremo bisogno delle "somme di polarizzazione"
 - La somma in λ non è in forma covariante $P^{\mu\nu} = \sum_{\lambda=0}^{3} g_{\lambda\lambda} \varepsilon^{\mu}_{\lambda}(k) \, \varepsilon^{\nu}_{\lambda}(k) = g^{\mu\nu}$ $g_{\lambda\lambda}$ serve solo per definire i segni
 - $g_{\lambda\lambda}$ serve solo per definire i segni—
 - Si può verificare la relazione nel sistema di riposo della particella

$$\begin{array}{ll} \varepsilon_{0}\left(k\right)=\left(1,\mathbf{0}\right) & \varepsilon_{2}\left(k\right)=\left(0,\boldsymbol{\xi}_{2}\right) \\ \varepsilon_{1}\left(k\right)=\left(0,\boldsymbol{\xi}_{1}\right) & \varepsilon_{3}\left(k\right)=\left(0,\boldsymbol{\xi}_{3}\right) & \boldsymbol{\xi}_{3}=\hat{\mathbf{k}} & P^{\mu\nu}=\begin{pmatrix}1\\\mathbf{0}\end{pmatrix}^{\mu}\begin{pmatrix}1\\\mathbf{0}\end{pmatrix}^{\nu}-\sum_{\lambda=1}^{3}\begin{pmatrix}0\\\boldsymbol{\xi}_{\lambda}\end{pmatrix}^{\mu}\begin{pmatrix}0\\\boldsymbol{\xi}_{\lambda}\end{pmatrix}^{\nu} \end{array}$$

- Se $\mu=0$ oppure u=0 tutti i contributi sono nulli escluso il caso $\mu=
 u=0$
- Per $\mu=i$ e u=j con i,j=1,2,3

$$\sum_{\lambda=1}^{3}(oldsymbol{\xi}_{\lambda}\,)^{i}\,(oldsymbol{\xi}_{\lambda}\,)^{j}\,=\,\delta_{ij}$$

 $\sum_{i=1}^{3} (\xi_{\lambda})^{i} (\xi_{\lambda})^{j} = \delta_{ij}$ Si tratta della normale relazione di completezza per una terna ortogonale in R^{3}

Particelle con massa <u>non nulla</u> e con spin 1[†]

- Abbiamo visto che la condizione di Lorentz implica un vincolo sulle componenti del campo A^μ
 - $\partial^{\mu}A_{\mu}\!\!=0$ implica che solo tre componenti di A^{μ} sono indipendenti
 - Analogamente, dei quattro vettori di polarizzazione solo tre sono indipendenti e hanno un senso fisico
- La completezza della somma di polarizzazione ha senso matematicamente
 - Fisicamente siamo interessati alla somma estesa solamente ai tre stati fisici
 - Analizziamo il contributo di $\varepsilon_0(k)$ alla somma

$$g^{\mu\nu} = \sum_{\lambda=0}^{3} g_{\lambda\lambda} \varepsilon^{\mu}_{\lambda}(k) \varepsilon^{\nu}_{\lambda}(k) = \varepsilon^{\mu}_{0} \varepsilon^{\nu}_{0} - \sum_{\lambda=1}^{3} \varepsilon^{\mu}_{\lambda}(k) \varepsilon^{\nu}_{\lambda}(k) \qquad \qquad \varepsilon^{\mu}_{0}(k) = \frac{k^{\mu}}{m}$$

Otteniamo pertanto

$$\sum_{\lambda=1}^{3} \varepsilon_{\lambda}^{\mu}(k) \varepsilon_{\lambda}^{\nu}(k) = -\left(g^{\mu\nu} - \frac{1}{m^{2}} k^{\mu} k^{\nu}\right)$$

• † Per la trattazione degli stati di polarizzazione di particelle vettoriali vedi Greiner W., Reinhardt J. - Field Quantization 2nd ed. - Springer 1996 § 6.4.1 e § 6.4.2



Particelle con massa <u>nulla</u> e con spin 1

- I vettori di polarizzazione di un campo vettoriale con massa nulla non possono essere ottenuti da quelli introdotti nelle diapositive precedenti ponendo $m=0\,$
 - · Nel caso di massa nulla gli stati di polarizzazione indipendente sono solo due
 - Inoltre non possiamo utilizzare il 4-vettore k per definire $arepsilon_0$ perché $k^2=0$
- E naturalmente non possiamo utilizzare il sistema di riposo
 - Utilizziamo il gauge di Lorentz: $\partial^{\mu}A_{\mu}\!\!=0 o k_{\mu} arepsilon^{\mu}(k)=0$
 - Utilizziamo l'ulteriore invarianza che permette di trasformare i vettori di polarizzazione come $\varepsilon^\mu \to \varepsilon^\mu + \beta \ k^\mu$
 - Possiamo pertanto assumere che $arepsilon_i(k)=(0,\!\xi_i)\quad i=1,\!2,\!3$

$$\varepsilon_1(k) = (0, \boldsymbol{\xi}_1) \qquad \qquad \varepsilon_2(k) = (0, \boldsymbol{\xi}_2) \qquad \qquad \varepsilon_3(k) = (0, \hat{\mathbf{k}})$$

- Infine scegliamo, in questo sistema, il quarto stato come $arepsilon_0(k)=n=(1,\!0)$
- Utilizzando il 4-vettore n possiamo scrivere $\varepsilon_3(k)$ in forma covariante

$$\varepsilon_3(k) = \frac{k - n(k \cdot n)}{\left[(k \cdot n)^2 - k^2 \right]^{\frac{1}{2}}} \qquad \varepsilon_3(k) \cdot \varepsilon_3(k) = -1$$

- È facile verificare che nel sistema in cui n=(1,0) si ha $arepsilon_3(k)=(0,\hat{\mathbf{k}})$
- Per fotoni reali $(k^2=0)$ i quattro 4-vettori soddisfano le seguenti relazioni

$$k \cdot \varepsilon_1(k) = k \cdot \varepsilon_2(k) = 0$$
 $k \cdot \varepsilon_0(k) = -k \cdot \varepsilon_3(k) = k \cdot n$

Particelle con massa <u>nulla</u> e con spin 1

 Si può dimostrare che i quattro stati definiti precedentemente soddisfano la stessa relazione di completezza del caso con massa diversa da zero

$$P^{\mu\nu}(k) = \sum_{\lambda=0}^{3} g_{\lambda\lambda} \varepsilon_{\lambda}^{\mu}(k) \varepsilon_{\lambda}^{\nu}(k) = g^{\mu\nu}$$

- Nel caso di un campo vettoriale senza massa siamo interessati alla somma di polarizzazione limitata agli stati fisici $\varepsilon_1(k)$ e $\varepsilon_2(k)$
- Si hanno due risultati per particelle reali (on-shell, $k^2=0$) oppure virtuali (off-shell, $k^2\neq 0$)
 - Per particelle reali ($k^2=0$)
 - Ad esempio per fotoni esterni

$$\sum_{\lambda=1}^{2} \varepsilon_{\lambda}^{\mu}(k) \varepsilon_{\lambda}^{\nu}(k) = -\left(g^{\mu\nu} + \frac{k^{\mu}k^{\nu}}{(k \cdot n)^{2}} - \frac{k^{\mu}n^{\nu} + k^{\nu}n^{\mu}}{k \cdot n}\right)$$

- Per particelle virtuali ($k^2 \neq 0$)
 - Ad esempio in un propagatore

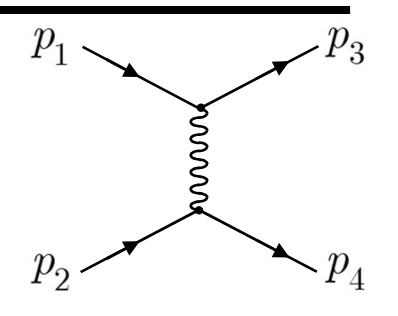
$$\sum_{\lambda=1}^{2} \varepsilon_{\lambda}^{\mu}(k) \varepsilon_{\lambda}^{\nu}(k) = -\left(g^{\mu\nu} + \frac{k^{\mu}k^{\nu} - (k^{\mu}n^{\nu} + k^{\nu}n^{\mu})k \cdot n + n^{\mu}n^{\nu}k^{2}}{(k \cdot n)^{2} - k^{2}}\right)$$





Abbiamo definito il propagatore fotonico (vedi diapositiva 265)

$$-iD^{\mu\nu}\left(x_{1},x_{2}\right)=\left\langle 0\mid T\left[\widehat{A}^{\mu}\left(x_{1}\right)\widehat{A}^{\nu}\left(x_{2}\right)\right]\mid 0\right\rangle$$



- Definiamo la funzione $\theta(\tau)$ $\theta(\tau) = \begin{cases} 0 & \tau < 0 \\ 1 & \tau \geq 0 \end{cases}$
 - Otteniamo l'espressione

$$-iD^{\mu\nu}\left(\left.x_{1},x_{2}\right.\right)=\left.\theta\left(\left.t_{1}\right.-\left.t_{2}\right.\right)\right\langle 0\mid\widehat{A}^{\mu}\left(\left.x_{1}\right.\right)\widehat{A}^{\nu}\left(\left.x_{2}\right.\right)\mid0\right\rangle +\left.\theta\left(\left.t_{2}\right.-\left.t_{1}\right.\right)\right\langle 0\mid\widehat{A}^{\nu}\left(\left.x_{2}\right.\right)\widehat{A}^{\mu}\left(\left.x_{1}\right.\right)\mid0\right\rangle +\left.\theta\left(\left.t_{2}\right.-\left.t_{1}\right.\right)\right\langle 0\mid\widehat{A}^{\nu}\left(\left.x_{2}\right.\right)\widehat{A}^{\mu}\left(\left.x_{1}\right.\right)\mid0\right\rangle +\left.\theta\left(\left.t_{2}\right.-\left.t_{1}\right.\right)\left\langle 0\mid\widehat{A}^{\nu}\left(\left.x_{2}\right.\right)\widehat{A}^{\mu}\left(\left.x_{1}\right.\right)\right\rangle +\left.\theta\left(\left.t_{2}\right.-\left.t_{1}\right.\right)\left\langle 0\mid\widehat{A}^{\mu}\left(\left.x_{1}\right.\right)\right\rangle +\left.\theta\left(\left.t_{2}\right.-\left.t_{1}\right.\right)\left\langle 0\mid\widehat{A}^{\mu}\left(\left.x_{1}\right.\right)\right\rangle +\left.\theta\left(\left.t_{2}\right.-\left.t_{1}\right.\right)\left\langle 0\mid\widehat{A}^{\mu}\left(\left.x_{1}\right.\right)\right\rangle +\left.\theta\left(\left.t_{2}\right.-\left.t_{1}\right.\right)\left\langle 0\mid\widehat{A}^{\mu}\left(\left.x_{1}\right.\right)\right\rangle +\left.\theta\left(\left.t_{2}\right.-\left.t_{1}\right.\right)\left\langle 0\mid\widehat{A}^{\mu}\left(\left.x_{1}\right.\right)\right\rangle +\left.\theta\left(\left.t_{2}\right.-\left.t_{1}\right.\right)\left\langle 0\mid\widehat{A}^{\mu}\left(\left.x_{1}\right.\right)\right\rangle +\left.\theta\left(\left.t_{1}\right.-\left.t_{1}\right.\right)\left\langle 0\mid\widehat{A}^{\mu}\left(\left.x_{1}\right.\right)\right\rangle +\left.\theta\left(\left.t_{1}\right.-\left.t_{1}\right.\right)\left\langle$$

ullet Consideriamo uno dei due termini e utilizziamo lo sviluppo dei campi A^{μ}

$$\left\langle 0 \mid \widehat{A}^{\mu}\left(x_{1}\right) \widehat{A}^{\nu}\left(x_{2}\right) \mid 0 \right\rangle = \sum_{l,m=1,2} \int \frac{d^{3}\mathbf{k} d^{3}\mathbf{q}}{(2\pi)^{6} \sqrt{2|\mathbf{k}|} \sqrt{2|\mathbf{q}|}} \left\langle 0 \begin{bmatrix} \left(\varepsilon_{\mathbf{k},l}^{\mu} \widehat{c}_{\mathbf{k},l} e^{-ik\cdot x_{1}} + \varepsilon_{\mathbf{k},l}^{\mu^{*}} \widehat{c}_{\mathbf{k},l}^{\dagger} e^{ik\cdot x_{1}} \right) \\ \left(\varepsilon_{\mathbf{q},m}^{\nu} \widehat{c}_{\mathbf{q},m} e^{-iq\cdot x_{2}} + \varepsilon_{\mathbf{q},m}^{\nu^{*}} \widehat{c}_{\mathbf{q},m}^{\dagger} e^{iq\cdot x_{2}} \right) \end{bmatrix} 0 \right\rangle$$

$$= \sum_{l,m=1,2} \int \frac{d^{3}\mathbf{k} d^{3}\mathbf{q} \, \varepsilon_{\mathbf{k},l}^{\mu} \varepsilon_{\mathbf{q},m}^{\nu^{*}} e^{-ik\cdot x_{1}} e^{iq\cdot x_{2}}}{(2\pi)^{6} \sqrt{2|\mathbf{k}|} \sqrt{2|\mathbf{q}|}} \left\langle 0 \mid \widehat{c}_{\mathbf{k},l} \widehat{c}_{\mathbf{q},m}^{\dagger} \mid 0 \right\rangle \quad \left[\widehat{c}_{\mathbf{k},l}, \widehat{c}_{\mathbf{q},m}^{\dagger} \right] = \delta_{lm} (2\pi)^{3} \, \delta(\mathbf{k} - \mathbf{q})$$

$$= \sum_{l=1,2} \int \frac{d^{3}\mathbf{q} \, \varepsilon_{\mathbf{q},l}^{\mu} \varepsilon_{\mathbf{q},l}^{\nu^{*}} e^{-iq\cdot (x_{1} - x_{2})}}{(2\pi)^{3} \, 2|\mathbf{q}|}$$

 $\left\langle 0\mid\widehat{A}^{\nu}\left(x_{2}\right)\widehat{A}^{\mu}\left(x_{1}\right)\mid0\right\rangle =\sum_{l=1,2}\int\frac{d^{3}\mathbf{q}\,\varepsilon_{\mathbf{q},l}^{\nu}\varepsilon_{\mathbf{q},l}^{\mu\ast}e^{-iq\cdot(x_{2}-x_{1})}}{(2\pi)^{3}\,2|\mathbf{q}|}$

• Utilizziamo la rappresentazione integrale della funzione heta(au)

$$\theta(\tau) = \frac{1}{2\pi i} \lim_{\varepsilon \to 0} \int_{-\infty}^{+\infty} \frac{e^{-i\alpha\tau}}{\alpha + i\varepsilon} d\alpha$$

• Otteniamo la seguente espressione per il propagatore

$$-iD^{\mu\nu}\left(x_{1},x_{2}\right)=\sum_{l=1,2}\int\frac{d\alpha d^{3}\mathbf{q}\,\varepsilon_{\mathbf{q},l}^{\mu}\varepsilon_{\mathbf{q},l}^{\nu^{*}}e^{-iq\cdot(x_{1}-x_{2})}e^{-i\alpha(t_{1}-t_{2})}}{2\pi i\left(\alpha+i\varepsilon\right)\left(2\pi\right)^{3}2|\mathbf{q}|}+\sum_{l=1,2}\int\frac{d\alpha d^{3}\mathbf{q}\,\varepsilon_{\mathbf{q},l}^{\nu}\varepsilon_{\mathbf{q},l}^{\mu^{*}}e^{-iq\cdot(x_{2}-x_{1})}e^{-i\alpha(t_{2}-t_{1})}}{2\pi i\left(\alpha+i\varepsilon\right)\left(2\pi\right)^{3}2|\mathbf{q}|}$$

- Consideriamo il primo termine $(q_0 = |{f q}| \)$
 - Per il momento omettiamo la somma sulle polarizzazioni

$$D_{1} = \int \frac{d\alpha d^{3}\mathbf{q} \, e^{-iq\cdot(x_{1}-x_{2})} e^{-i\alpha(t_{1}-t_{2})}}{2\pi i (\alpha + i\varepsilon)(2\pi)^{3} \, 2|\mathbf{q}|} = -i \int \frac{d\alpha d^{3}\mathbf{q} \, e^{+i\mathbf{q}\cdot(\mathbf{x}_{1}-\mathbf{x}_{2})} e^{-iq_{0}(t_{1}-t_{2})} e^{-i\alpha(t_{1}-t_{2})}}{(\alpha + i\varepsilon)(2\pi)^{4} \, 2|\mathbf{q}|}$$

Poniamo

$$\omega = q_0 + \alpha$$
 $\alpha = \omega - q_0$ $d\alpha = d\omega$ $k = (\omega, \mathbf{q})$

Otteniamo

$$D_{1} = -i \int \frac{d\alpha d^{3}\mathbf{q} \, e^{+i\mathbf{q}\cdot(\mathbf{x}_{1}-\mathbf{x}_{2})} e^{-iq_{0}(t_{1}-t_{2})} e^{-i\alpha(t_{1}-t_{2})}}{(\alpha+i\varepsilon)(2\pi)^{4} \, 2|\mathbf{q}|} = -i \int \frac{d\omega d^{3}\mathbf{q} \, e^{+i\mathbf{q}\cdot(\mathbf{x}_{1}-\mathbf{x}_{2})} e^{-i\omega(t_{1}-t_{2})}}{(\omega-q_{0}+i\varepsilon)(2\pi)^{4} \, 2|\mathbf{q}|}$$

$$k = (\omega,\mathbf{q}) \qquad d\omega d^{3}\mathbf{q} = d^{4}k \qquad = -i \int \frac{d^{4}k \, e^{-ik\cdot(x_{1}-x_{2})}}{(\omega-q_{0}+i\varepsilon)(2\pi)^{4} \, 2|\mathbf{q}|}$$

· Analogamente il secondo termine

$$D_2 = -i \int \frac{d^4k \, e^{-ik \cdot (x_2 - x_1)}}{(\omega - q_0 + i\varepsilon)(2\pi)^4 \, 2|\mathbf{q}|} = i \int \frac{d^4k \, e^{-ik \cdot (x_1 - x_2)}}{(\omega + q_0 + i\varepsilon)(2\pi)^4 \, 2|\mathbf{q}|}$$

- Abbiamo cambiato $k_lpha o -k_lpha$
- In particolare $\omega
 ightarrow -\omega$ nel denominatore
- · Sommiamo i due termini

$$D_{1} + D_{2} = -i \int \frac{d^{4}k \, e^{-ik \cdot (x_{1} - x_{2})}}{(2\pi)^{4} \, 2|\mathbf{q}|} \left[\frac{1}{\omega - q_{0} + i\varepsilon} - \frac{1}{\omega + q_{0} + i\varepsilon} \right]$$
$$\frac{1}{\omega - q_{0}} - \frac{1}{\omega + q_{0}} = \frac{\omega + q_{0} - \omega + q_{0}}{\omega^{2} - q_{0}^{2}} = \frac{2q_{0}}{\omega^{2} - q_{0}^{2}}$$

$$D_1 + D_2 = -i \int \frac{d^4k \, e^{-ik \cdot (x_1 - x_2)}}{(2\pi)^4 \, 2|\mathbf{q}|} \left[\frac{1}{\omega - q_0 + i\varepsilon} - \frac{1}{\omega + q_0 + i\varepsilon} \right]$$

• Inseriamo nell'integrale (reintroduciamo +iarepsilon nel denominatore)

$$D_1 + D_2 = -i \int \frac{d^4k \, e^{-ik \cdot (x_1 - x_2)}}{(2\pi)^4 \, 2|\mathbf{q}|} \frac{2q_0}{\omega^2 - q_0^2 + i\varepsilon} = -i \frac{1}{(2\pi)^4} \int \frac{1}{\omega^2 - q_0^2 + i\varepsilon} e^{-ik \cdot (x_1 - x_2)} d^4k$$

- Reintroduciamo le somme di polarizzazione
 - Ricordiamo che $k=(\omega, \mathbf{q})$

$$D^{\mu\nu}\left(x_{1}-x_{2}\right)=-\frac{1}{\left(2\pi\right)^{4}}\int\left(\sum_{l=1}^{2}\varepsilon_{\mathbf{q},l}^{\mu}\varepsilon_{\mathbf{q},l}^{\nu^{*}}\right)\frac{1}{k^{2}+i\varepsilon}e^{-ik\cdot\left(x_{1}-x_{2}\right)}d^{4}k$$

- Il secondo membro è una trasformata di Fourier
- Il propagatore fotonico nello spazio dei momenti è pertanto

$$D^{\mu\nu}(k) = -\frac{1}{k^2 + i\varepsilon} \left[\sum_{l=1}^{2} \varepsilon_{\mathbf{q},l}^{\mu} \varepsilon_{\mathbf{q},l}^{\nu*} \right]$$

 Utilizziamo l'espressione che abbiamo trovato per le somme di polarizzazione nella diapositiva 543

$$\sum_{\lambda=1}^{2} \varepsilon_{\lambda}^{\mu}(k) \varepsilon_{\lambda}^{\nu}(k) = -\left(g^{\mu\nu} + \frac{k^{\mu}k^{\nu} - (k^{\mu}n^{\nu} + k^{\nu}n^{\mu})k \cdot n + n^{\mu}n^{\nu}k^{2}}{(k \cdot n)^{2} - k^{2}}\right)$$

• Otteniamo†

$$D^{\mu\nu}(k) = \frac{1}{k^2 + i\varepsilon} \left(g^{\mu\nu} + \frac{k^{\mu}k^{\nu} - \left(k^{\mu}n^{\nu} + k^{\nu}n^{\mu}\right)k \cdot n + n^{\mu}n^{\nu}k^2}{\left(k \cdot n\right)^2 - k^2} \right)$$

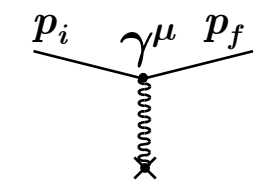
• In elettrodinamica il propagatore è accoppiato a correnti conservate

$$\partial^{\mu} j_{\mu}(x) = 0 \to k^{\mu} j_{\mu}(q) = 0$$

- I primi tre termini della frazione danno pertanto contributo nullo
 - Ignoriamo anche i termini in n^μ e $n^
 u$
 - Rappresentano il contributo dell'interazione Coulombiana†
- Si utilizza pertanto la forma covariante del propagatore fotonico

$$D^{\mu\nu}\left(k\right) = \frac{g^{\mu\nu}}{k^2 + i\varepsilon}$$

• †vedi W. Grenier, J. Reinhardt – Field Quantization – Springer 1996 p.185



Il propagatore del bosone W^\pm

- La stessa derivazione può essere fatta per il propagatore di bosoni vettoriali con massa diversa da zero
 - Una prima differenza sta nella relazione fra energia e quantità di moto $q_0=|{f q}|=\sqrt{{f q}^2} o q_0=\sqrt{{f q}^2+m^2}$
 - Una seconda differenza risiede nel valore delle somme di polarizzazione

$$\sum_{\lambda=1}^{3} \varepsilon_{\lambda}^{\mu}(k) \varepsilon_{\lambda}^{\nu}(k) = -\left(g^{\mu\nu} - \frac{1}{m^{2}} k^{\mu} k^{\nu}\right)$$

• Tenendo conto di queste differenze il propagatore per una particella vettoriale di massa $M_{\scriptscriptstyle W}$ è

$$D^{\mu
u}(q) = rac{1}{q^2 - M_W^2 + iarepsilon} \left[-g^{\mu
u} + rac{q^{\mu}q^{
u}}{M_W^2}
ight]$$

• Calcoliamo l'ampiezza di transizione per un processo che abbiamo descritto con l'interazione corrente-corrente utilizzando il propagatore (slide 528)

$$\begin{array}{c|c} \hline k_i & \overline{\nu}_e & W^- & e^- & k_f \\ p_i & e^- & \overline{\nu}_e & p_f \\ \hline \end{array} \quad \begin{array}{c|c} \overline{\nu}_e + e^- \rightarrow \overline{\nu}_e + e^- \\ \hline \end{array} \quad \begin{array}{c|c} j_1^\mu = \overline{\nu}_{k_i} \gamma^\mu \left(1 - \gamma^5\right) u_{p_i} \\ \hline j_2^\mu = \overline{u}_{k_f} \gamma^\mu \left(1 - \gamma^5\right) v_{p_f} \\ \hline \end{array} \quad \\ q = k_i + p_i = k_f + p_f \quad \mathfrak{M} = \frac{G}{\sqrt{2}} j_1^\mu j_{2\mu} \quad \Longrightarrow \quad \mathfrak{M} = \frac{g^2}{8} j_1^\mu D_{\mu\nu}(q) j_2^\nu \\ \hline \end{array}$$

Il propagatore del bosone W^\pm

• Utilizziamo la forma esplicita del propagatore

$$\mathfrak{M} = \frac{1}{8} \frac{g^2}{q^2 - M_W^2 + i\varepsilon} j_1^{\mu} \left(-g_{\mu\nu} + \frac{q_{\mu}q_{\nu}}{M_W^2} \right) j_2^{\nu}$$

$$\begin{split} j_1^\mu &= \overline{v}_{k_i} \gamma^\mu \left(1 - \gamma^5\right) u_{p_i} \\ \\ j_2^\mu &= \overline{u}_{k_f} \gamma^\mu \left(1 - \gamma^5\right) v_{p_f} \end{split}$$

- Consideriamo prima il pezzo del propagatore che contiene i termini $q_{\mu}q_{
 u}$
 - Ricordiamo che $q=k_i+\,p_i=k_f+\,p_f$
- Calcoliamo il contributo della prima corrente[†]

$$\begin{split} q_{\mu}j_{1}^{\mu} &= \overline{v}_{k_{i}}\gamma^{\mu}(k_{i}\,+\,p_{i})_{\mu}(1-\gamma^{5})u_{p_{i}} = \overline{v}_{k_{i}}(\not k_{i}\,+\,\not p_{i})(1-\gamma^{5})u_{p_{i}} & \overline{v}_{k_{i}}\not k_{i} = -m_{\nu}\overline{v}_{k_{i}} \\ &= m_{e}\;\overline{v}_{k_{i}}(1+\gamma^{5})u_{p_{i}} - m_{\nu}\overline{v}_{k_{i}}(1-\gamma^{5})u_{p_{i}} & \not p_{i}u_{p_{i}} = m_{e}u_{p_{i}} \end{split}$$

· Un risultato analogo per la seconda corrente

$$q_{\nu} j_{2}^{\nu} = m_{e} \ \overline{v}_{k_{f}} (1 - \gamma^{5}) u_{p_{f}} - m_{\nu} \overline{v}_{k_{f}} (1 + \gamma^{5}) u_{p_{f}}$$

- In definitiva i contributi sono proporzionali a termini $(a,b=e,\nu)$ $\underline{m_a m_b}$ Sono contributi trascurabili
- Osservazioni
 - La corrente debole non è conservata
 - Sarebbe conservata per masse nulle
- †Vedi Aitchison, Hey Gauge Theories in particle physics 3° ed. \$21.3

Il modello Bosone Vettoriale Intermedio (IVB)

• Consideriamo il termine proporzionale a $g_{\mu
u}$

- $\mathfrak{M} = -rac{g^2}{8} rac{j_1^{\mu} g_{\mu\nu} j_2^{
 u}}{g^2 M^2 + i\varepsilon}$
- ullet La costante g introdotta gioca il ruolo della carica e
- Consideriamo il limite di momento trasferito trascurabile

$$q^2 \ll M_W^2$$

• In questo limite l'ampiezza diventa

$$\mathfrak{M}=rac{g^2}{8M_W^2}j_1^\mu j_{2\mu}$$
 da confrontare con $\mathfrak{M}=rac{G}{\sqrt{2}}j_1^\mu j_{2\mu}$

• Si arriva pertanto alla identificazione

$$G = \frac{\sqrt{2}}{8} \frac{g^2}{q^2 - M_W^2}$$
 \Longrightarrow $G = \sqrt{2} \frac{g^2}{8M_W^2}$

- Concludiamo che al primo ordine dello sviluppo perturbativo i risultati trovati con l'interazione corrente-corrente posso essere generalizzati al modello IVB semplicemente sostituendo G con l'espressione contenente il propagatore
 - In particolare la sezione d'urto $\,\overline{
 u}_e^{} + e^-^{}
 ightarrow \overline{
 u}_e^{} + e^-^{}$

$$\sigma = \frac{G^2s}{3\pi} \implies \quad \sigma = \frac{g^4s}{3\cdot 32\pi} \frac{1}{(s-M_W^2)^2} \quad \mbox{` La divergenza per } s = M_W^2 \ \mbox{\'e apparente} \quad \mbox{` Abbiamo trascurato } \Gamma_W$$

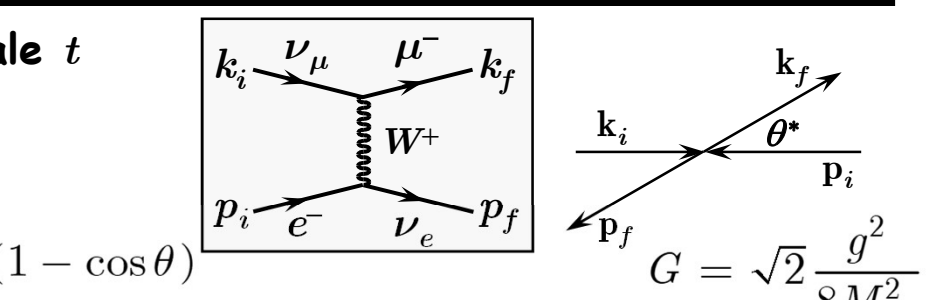
- Non è più divergente nel limite di alta

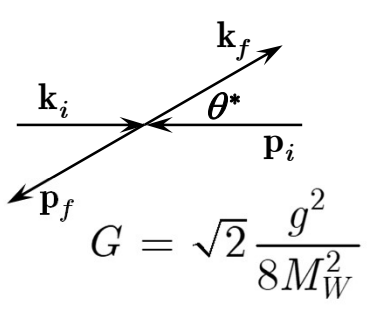
Il modello Bosone Vettoriale Intermedio (IVB)

- ullet Analogamente per un processo in canale t
- Calcoliamo il momento trasferito
 - Trascuriamo le masse dei fermioni

$$q^2 = \left(k_i - k_f\right)^2 pprox -2k_i \cdot k_f pprox -2E_i E_f \left(1 - \cos \theta\right)^2$$
 $E_i pprox E_f pprox rac{\sqrt{s}}{2}$ $q^2 = -rac{s}{2}(1 - \cos \theta)$







$$\frac{1}{q^2 - M_W^2} = \frac{2}{-s(1 - \cos\theta) - 2M_W^2}$$

• La sezione d'urto diventa pertanto

$$\frac{d\sigma}{d\Omega} = \frac{g^4 s}{32\pi^2} \frac{1}{\left[s\left(1 - \cos\theta\right) + 2M_W^2\right]^2}$$

• Osserviamo che per piccoli momenti trasferiti la sezione $\frac{d\sigma}{d\Omega} \xrightarrow{s \ll M_W^2} \frac{G^2s}{4\pi^2}$ d'urto è di nuovo quella calcolata nel modello di Fermi

$$\frac{d\sigma}{d\Omega} \xrightarrow{s \ll M_W^2} \frac{G^2 s}{4\pi^2}$$

• Il limite di alta energia non è più divergente

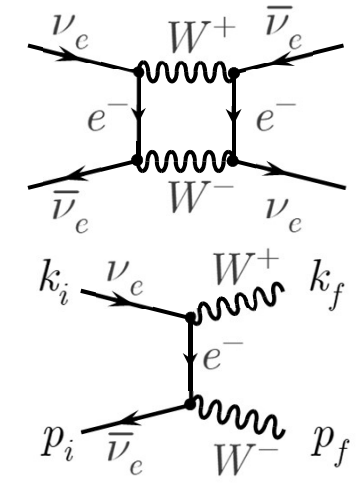
$$\frac{d\sigma}{d\Omega} = \frac{g^4 s}{4\pi^2} \frac{4\alpha}{\left[s(1-\cos\theta) + 2M_W^2\right]^2} \xrightarrow{s \gg M_W^2} \frac{g^4}{32\pi^2} \frac{1}{s(1-\cos\theta)^2}$$



Difficoltà del modello IVB

- Purtroppo, nonostante l'apparente successo, il modello IVB non è ancora una soluzione soddisfacente
 - Esistono diagrammi di ordine superiore con più propagatori
 - La particella W^\pm introdotta può partecipare a reazioni in cui è reale (non virtuale)

$$k_i + p_i = k_f + p_f$$
 $k_i - k_f = p_f - p_i \equiv P$



- Questi diagrammi divergono in modo non rinormalizzabile
- L'ampiezza del secondo diagramma è

$$\mathfrak{M}_{\lambda_{\!1} \lambda_{\!2}} = \frac{g^2}{8} \varepsilon_{\mu}^*(p_f, \lambda_{\!1}) \varepsilon_{\nu}^*(k_f, \lambda_{\!2}) \overline{v}(p_i, s_i) \gamma^{\mu} (1 - \gamma^5) \frac{\cancel{k}_i - \cancel{k}_f + m_e}{(k_i - k_f)^2 - m_e^2} \gamma^{\nu} (1 - \gamma^5) u(k_i, s_i)$$

- Abbiamo indicato esplicitamente le polarizzazioni λ_1 e λ_2 dei bosoni W
 - Possono essere anche le polarizzazioni longitudinali $\lambda_1=3,\,\lambda_2=3$ (vedi diapositiva 539) nel limite di alta energia

diapositiva 539) nel limite di alta energia
$$\varepsilon(k,3) \equiv \varepsilon_3\left(k\right) = \frac{1}{M_W}\bigg(\big|\mathbf{k}\big|,\frac{\mathbf{k}}{\big|\mathbf{k}\big|}k_0\bigg) = \frac{(k_0,\mathbf{k})}{M_W} + \frac{M_W(-1,\hat{\mathbf{k}})}{(k_0+\big|\mathbf{k}\big|)} \to \frac{(k_0,\mathbf{k})}{M_W} = \frac{k}{M_W}$$

• Si può verificare che l'ampiezza \mathfrak{M}_{00} diverge nel limite di alta energia $s o \infty$

Difficoltà del modello IVB

- ullet Verifichiamo che l'ampiezza calcolata per W con polarizzazione longitudinale diverge nel limite di alta energia dei bosoni
 - In questo limite possiamo fare le sostituzioni $arepsilon^{\mu}
 ightarrow rac{p_{f}^{\mu}}{M_{W}} arepsilon^{\nu}
 ightarrow rac{k_{f}^{\nu}}{M_{W}}$
 - L'ampiezza diventa ($k_{i}-k_{f}=p_{f}-p_{i}=P$)

$$\mathfrak{M}_{00} = \frac{g^2}{8 M_W^2} \overline{v}(p_i, s_i) \mathbf{p}_f (1 - \gamma^5) \frac{\mathbf{p}' + m_e}{P^2 - m_e^2} \mathbf{k}_f (1 - \gamma^5) u(k_i, s_i)$$

• Trascurando le masse dei fermioni possiamo scrivere

$$\boxed{\overline{v}(p_i)\cancel{p}_i=0} \quad \overline{v}(p_i)\cancel{p}_f \to \overline{v}(p_i)(\cancel{p}_f-\cancel{p}_i) \qquad \boxed{\cancel{k}_i u(k_i)=0} \quad \cancel{k}_f u(k_i) \xrightarrow{2} (\cancel{k}_f-\cancel{k}_i)u(k_i)$$

• Introducendo nell'ampiezza (inseriremo alla fine il fattore $\frac{g^2}{2\pi g^2}$)

$$\mathfrak{M}_{00} = -\overline{v}(p_i, s_i) \cancel{P}(1 - \gamma^5) \frac{\cancel{P}}{P^2} \cancel{P}(1 - \gamma^5) u(k_i, s_i)$$

$$\mathfrak{M}_{00} = 2\overline{v}(p_i, s_i) \cancel{P}(1 - \gamma^5) u(k_i, s_i)$$

$$\varepsilon_{\mu\nu\rho\sigma} p_i^{\mu} P^{\nu} k_i^{\rho} P^{\sigma} = 0$$

Difficoltà del modello IVB

$$|\overline{\mathfrak{M}_{00}}|^2 = 32 \Big[2(p_i \cdot P)(k_i \cdot P) - p_i \cdot k_i P^2 \Big]$$
• Specializziamo nel centro di massa $(m_X = \mathbf{0})$

$$k_i = (E, 0, 0, E) \qquad k_f = (E, E \sin \theta, 0, E \cos \theta) \qquad p_i \quad \overline{\overline{\nu}_e} \qquad \mathbf{p}_f$$

$$\mathbf{p}_f \qquad \mathbf{p}_f$$

$$\begin{aligned} k_i &= (E,0,0,E) & k_f &= (E,E\sin\theta,0,E\cos\theta) \\ p_i &= (E,0,0,-E) & p_f &= (E,-E\sin\theta,0,-E\cos\theta) \end{aligned}$$

• Calcoliamo i prodotti scalari

$$\begin{array}{lll} p_i = (E,0,0,-E) & p_f = (E,-E\sin\theta,0,-E\cos\theta) & k_i - k_f = p_f - p_i = P \\ \textbf{Calcoliamo i prodotti scalari} & E = \left|\mathbf{q}\right| = \frac{\sqrt{s}}{2} \\ k_i \cdot P = p_i \cdot k_i - p_i \cdot k_f = E^2(1-\cos\theta) & p_i \cdot k_i = 2E^2 & P^2 = -2E^2(1-\cos\theta) \\ k_i \cdot P = k_i \cdot k_i - k_i \cdot k_f = -E^2(1-\cos\theta) & p_i \cdot k_i = 2E^2 & P^2 = -2E^2(1-\cos\theta) \\ \end{array}$$

$$2\big(p_i\cdot P\big)\big(k_i\cdot P\big)-k_i\cdot k_fP^2=2E^4\sin^2\theta=\frac{s^2\sin^2\theta}{8}$$

Reintroduciamo il fattore

$$\left(\frac{g^2}{8M_W^2}\right)^2 = \frac{G^2}{2}$$

$$\left(\frac{g^2}{8M_W^2}\right)^2 = \frac{G^2}{2} \qquad \qquad \boxed{\left|\mathfrak{M}_{00}\right|^2 = 2G^2s^2\sin^2\theta} \qquad \qquad \frac{d\Phi_2}{F} = \frac{1}{4s}\frac{d\Omega}{\left(4\pi\right)^2}$$

$$\frac{d\Phi_2}{F} = \frac{1}{4s} \frac{d\Omega}{\left(4\pi\right)^2}$$

 Per la sezione d'urto, trascuriamo le masse e usiamo le formule usate per la reazione ν_e + e^- (dia. 519)

$$\frac{d\sigma}{d\Omega} = \frac{G^2 s \sin^2 \theta}{2 \left(4\pi\right)^2} \qquad \sigma = \frac{G^2 s}{3 \cdot 4\pi} \qquad \begin{array}{c} \bullet \quad \text{Osserviamo che la sezione d'urto diverge} \\ \bullet \quad \text{Gli stati longitudinali causano divergenze} \end{array}$$



